

## کاربرد یادگیری تقویتی در جهت‌یابی حرکت سرپتین ربات مارمانند\*

هادی کلانی<sup>(۱)</sup> علیرضا اکبرزاده<sup>(۲)</sup>

**چکیده** هدف این مقاله هدایت و کنترل ربات مارمانند با استفاده از یادگیری تقویتی (Reinforcement learning) می‌باشد. این مقاله به مدل‌سازی و شبیه‌سازی ربات مارمانند می‌پردازد و سپس نتایج آن را روی ربات واقعی پیاده‌سازی می‌نماید. در ابتدا معادلات دینامیک یک ربات مارمانند با  $n$  عضو (Link) در حرکت سرپتین (Serpentine Locomotion) با استفاده از روش گیبس-اپل (Gibbs-Appell) به صورت ساده، جامع و کارآمد به دست آمده است. روش ارائه شده در این مطالعه حجم محاسبات برای دینامیک ربات مارمانند را تا حد قابل توجهی نسبت به کارهای پیشین کاهش می‌دهد. سپس مدل فیزیکی ربات در نرم‌افزار سیم‌مکانیک (SimMechanics) مدل‌سازی گشته و از آن برای تأیید معادلات دینامیک استفاده شده است. در این مقاله از یادگیری  $Q$  (Q learning) برای آموزش ربات مارمانند و جهت‌یابی آن استفاده شده است. همچنین تأثیر پارامترهای منحنی سرپنویذ و منحنی بدن مار روی سرعت یادگیری بررسی شده است. نتایج نشان می‌دهند پارامترهای فیزیکی که شکل ربات مار را تغییر نمی‌دهند، بر روی یادگیری ربات تأثیر محسوسی نمی‌گذارند. در انتها، نرم‌افزار شبیه‌سازی ویاتس و ربات مارمانند FUM-Snake II برای تصدیق نتایج حاصل از یادگیری به کار گرفته شده است. نتایج به دست آمده از ربات آزمایشگاهی نشان می‌دهد که مسیر حرکت این ربات پس از یادگیری به روش  $Q$ ، با مسیر پیش‌بینی شده توسط حل دینامیکی پیشنهادی و نتایج شبیه‌سازی در نرم‌افزار ویاتس همگی دارای مطابقت خوبی می‌باشند.

**واژه‌های کلیدی** ربات مارمانند، روش گیبس-اپل، یادگیری تقویتی، یادگیری  $Q$ .

### Application of Reinforcement Learning for Navigation of a Planar Snake Robot in Serpentine Locomotion

H. Kalani

A. Akbarzadeh

**Abstract** This article presents an implementation of a reinforcement learning (RL) method for a snake like robot navigation. The paper starts with developing kinematics and dynamics model of a snake robot in serpentine locomotion followed by performing simulation and finishes with actual experimentation. First, Gibbs-Appell's method is used to obtain the robot dynamics. The robot is also modeled in SimMechanics toolbox of MATLAB software which is then used to verify the derived dynamics equations. In this study, for the first time, Q-learning method is employed to obtain the optimal state and actions. Effects of serpenoid curve and body curve parameters on the snake robot learning ability are also investigated. Results indicate that parameters which do not affect body shape of the snake robot, also do not affect the learning ability. Finally, the experimental FUM-Snake II as well as webots software are both employed to validate theoretical results. Results show that the Q-learning method is an effective method for navigation of snake like robot.

**Key Words** Snake robot, Gibbs-Appell's method, Reinforcement learning, Q-learning.

\* تاریخ دریافت مقاله ۹۱/۱/۳۱ و تاریخ پذیرش آن ۹۲/۱۱/۳۰ می‌باشد.

(۱) نویسنده مسئول، دانشجوی دکتری، گروه مکانیک، دانشکده مهندسی، دانشگاه فردوسی مشهد. Hadi.kalani@yahoo.com

(۲) استاد، گروه مکانیک، دانشکده مهندسی، دانشگاه فردوسی مشهد.

## مقدمه

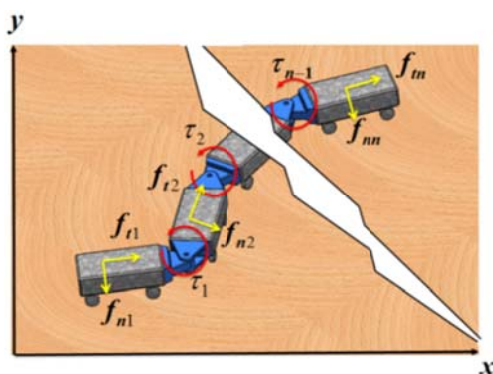
ربات‌های مارمانند اولین بار توسط هیروس [1] در اوایل سال ۱۹۷۰ معرفی شده‌اند. ربات‌های مارمانند برای انجام دادن مأموریت‌هایی مانند اکتشاف، عملیات نجات و عملیات بازرسی پیشنهاد شده‌اند. اکثر ایده‌پردازی‌ها در مورد حرکت این ربات‌ها با الهام‌پذیری از طبیعت بوده‌است. حرکت سرپنتین عام‌ترین حرکت مار در طبیعت است. سایتو و همکارانش [2] رباتی مارمانند را که توانایی حرکت در محیط‌های مختلف داراست ساختند و معادلات حرکت سرپنتین را به‌دست آوردند. ترنست [3] به بررسی سینماتیک و دینامیک ربات مارمانند در دو بعد و سه بعد پرداخته‌است. به‌علاوه ترنست و همکارانش [4] گزارشی در مورد روش‌های سینماتیک و دینامیکی ربات‌های مارمانند تا زمان خود ارائه دادند. وثوقی و همکارانش [5] ساختاری جدید برای ربات مارمانند ارائه نمودند و در مقاله خود برای محاسبه دینامیک از روش گیبس-اپل (Gibbs-Appell) استفاده کردند. در ادامه تحقیق بر روی ربات مارمانند، اسپرانکلین و همکارانش [6] حرکت دوبعدی مستقیم‌الخط و لیلجیک و همکارانش [7] حرکت پهلوئی را که یک حرکت سه‌بعدی است مورد تحلیل قرار دادند. هم‌چنین آن‌ها از فنر و دمپر برای ایجاد اصطکاک در خلال حرکت استفاده کرده‌اند. یه و همکارانش [8] به جزئیات طراحی ربات مارمانند که دارای سرعت بالایی می‌باشد، پرداختند. هم‌چنین آن‌ها حرکت سرپنتین را به‌کمک این ربات مورد بررسی قرار دادند. کرسپی و همکارانش [9] نشان دادند که برای این‌که ربات مارمانند در محیط‌های مختلف قادر به حرکت باشد، نیاز به الگویی دارد که بتواند با محیط اطراف خود وفق یابد. به‌عنوان مثال آن‌ها نشان دادند که برای ایجاد حرکت شناکردن (Swimming)، به یک موج‌های سینوسی با اختلاف فاز پایین نیاز است. مقالات

متعددی از روش‌های تکاملی مانند الگوریتم ژنتیک برای یادگیری و تعلیم ربات استفاده کرده‌اند. حسن‌زاده و اکبرزاده [10,11] با استفاده از الگوریتم ژنتیک حرکت جدیدی را به نام (Forward Head Serpentine) FHS ایجاد کردند. این حرکت به‌کمک روش بهینه‌سازی الگوریتم ژنتیک، به‌گونه‌ای انجام شده‌است که عضو اول (به‌عنوان دم ربات) همواره دارای جهتی ثابت و به سمت جلو باشد. هدف از ایجاد این حرکت قرار دادن دوربین بر روی عضو اول ربات مارمانند است. اکبرزاده و همکارانش [12,13] حرکت موجی شکل را از نظر سینماتیک و دینامیکی مورد تحلیل قرار دادند. آن‌ها در تحلیل خود از دو منحنی سرپنویذ متقارن و نامتقارن استفاده کردند. آن‌ها نشان دادند که با استفاده از منحنی نامتقارن علی‌رغم افزایش سرعت پیش‌روی ربات، گشتاور مصرفی نسبت به حالت منحنی متقارن، تغییر چندانی نمی‌کند. آن‌ها [14] روش سینماتیک جدیدی برای ایجاد حرکت موجی شکل ارائه دادند. هم‌چنین آن‌ها [15] با استفاده از طراحی آزمایش‌ها، (Design of experiment) DOE، پارامترهای تأثیرگذار در عملکرد ربات مارمانند را بررسی کردند و با الگوریتم SA (Simulated annealing) عملیات بهینه‌سازی را انجام دادند.

در مسأله یادگیری تقویتی (Reinforcement learning)، RL، به عامل (Agent) این امکان داده می‌شود که ضمن تعامل با محیط و کسب تجربه، با گسترش اعمالی که منجر به پیامد مطلوب می‌شود و محدود کردن اعمالی که منجر به پیامد نامطلوب می‌گردد، به استراتژی و سیاست بهینه برای رسیدن به هدف دست یابد [16]. برخی از ویژگی‌های روش‌های یادگیری تقویتی عبارتند از: (۱) آموزش از طریق تعامل با محیط، (۲) الگوریتم غیرنظارتی، (۳) نیاز به دانش قبلی درباره محیط و (۴) در حال یادگیری و خیره شدن پیوسته. این ویژگی‌ها باعث شده است که در

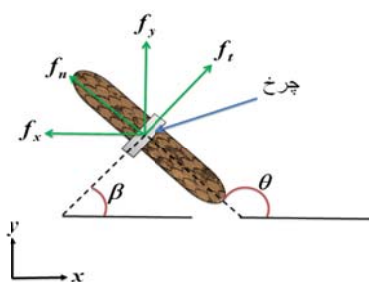
داده شده است (شکل ۱). مقدار نیروی اصطکاک وارد بر هر عضو توسط رابطه (۱) محاسبه می‌شود. شایان ذکر است که در این مقاله، اصطکاک به صورت کولمب بررسی شده است.

$$f_{ei} = -m_i C_e v_i^e \quad (1)$$



شکل ۱ دیاگرام آزاد ربات مارمانند بر روی سطح شیب‌دار

که در آن  $e = t, n$  به ترتیب جهت‌های مماسی و عمود بر عضو هستند.  $C_t$  و  $C_n$  ضرایب اصطکاک کولمب در جهت‌های مماسی و عمودی می‌باشند.  $m_i$  جرم عضو  $i$ ام است.



شکل ۲ نیروی اصطکاک وارد بر هر عضو ربات مارمانند

نیروهای اصطکاک در جهت‌های  $x$  و  $y$  با استفاده از معادله (۲) محاسبه می‌شوند. توجه داشته باشید که اگر چرخ به صورت موازی با عضو قرار گیرد آن‌گاه زوایای  $\theta$  و  $\beta$  با یکدیگر برابر خواهند بود (شکل ۲). در این شکل،  $\theta$  زاویه مطلق عضو و  $\beta$  زاویه چرخ می‌باشد، لذا داریم:

مطالعه حاضر از این روش یادگیری استفاده شود. یکی از اهداف اصلی برای بررسی ربات‌های متحرک، مانند ربات مارمانند، پیمودن مسیری دل‌خواه می‌باشد [17-22]. یادگیری  $Q$ ، از زیرمجموعه‌های یادگیری تقویتی می‌باشد که توسط واتکین [23] معرفی شده است. تا کنون این روش بر روی ربات‌های مختلف مانند ربات‌های کاوشگر [26]، ربات‌های انسان‌نما [27]، ربات‌های فوتوبالیست [28]، ربات‌های تعقیب خط [29] و ربات‌های شکارچی [30,31] ربات‌های خانگی [31] مورد استفاده قرار گرفته است. هم‌چنین مقالات متعددی از روش‌های تکاملی برای بهبود عملکرد یادگیری بهره گرفته‌اند [32-34] هدف اصلی مقاله حاضر، تأثیر پارامترهای منحنی سرپنویذ بر روی یادگیری ربات مارمانند است.

## مدل ریاضی برای دینامیک ربات مارمانند

### n عضوی

بررسی دینامیک یک ربات عموماً به دو دلیل اصلی انجام می‌شود: اول این‌که به کمک معادلات دینامیکی حرکت، علاوه بر شبیه‌سازی، می‌توان تأثیر ساختارهای کنترلی متفاوت را بر روی ربات مشاهده کرد. دوم این‌که، از این معادلات می‌توان برای بهینه‌سازی ربات (به‌عنوان مثال گشتاور مصرفی و یا فاصله پیموده شده) استفاده کرد. یکی از مشکلات موجود در بررسی ربات‌ها، انتخاب نوع روش حل دینامیکی مناسب می‌باشد. در این بخش، معادلات حرکت ربات مارمانند در حرکت سرپنیتین و در حالت کلی به کمک روش گیبس-اپل استخراج شده است.

بررسی اصطکاک. با توجه به کارهای گذشته [1,2]، عامل اصلی پیش‌رانش در حرکت سرپنیتین، تفاوت اصطکاک در راستای عضو و عمود بر عضو است. برای ایجاد این تفاوت، در زیر عضوهای ربات چرخ قرار

$I_{xz i}$  و  $I_{yz i}$  حاصل ضرب اینرسی لینک  $i$ ام می باشند. هم چنین  $\omega_{x i}$ ,  $\omega_{y i}$  و  $\omega_{z i}$  به ترتیب سرعت زاویه ای لینک  $i$ ام حول محور  $x$ ,  $y$  و  $z$  می باشند. با مشتق گیری از معادله بالا داریم:

$$\frac{\partial H_{ci}}{\partial t} = \begin{bmatrix} I_{xx i} & -I_{xy i} & -I_{xz i} \\ -I_{xy i} & I_{yy i} & -I_{yz i} \\ -I_{xz i} & -I_{yz i} & I_{zz i} \end{bmatrix} \begin{bmatrix} \alpha_{x i} \\ \alpha_{y i} \\ \alpha_{z i} \end{bmatrix} \quad (5)$$

که در آن  $\alpha_{x i}$ ,  $\alpha_{y i}$  و  $\alpha_{z i}$  به ترتیب شتاب زاویه ای لینک  $i$ ام حول محور  $x$ ,  $y$  و  $z$  می باشند. با معین بودن موقعیت دم ربات در صفحه حرکت و هم چنین زوایای مطلق هر کدام از اعضا پیکره بندی ربات مارمانند به صورت یکتا در صفحه مشخص می شود. مختصات تعمیم یافته (Generalized coordinates) به صورت رابطه زیر تعریف می شود.

$$q_j = [\theta_1, \theta_2, \theta_3, \dots, \theta_n, x_b, y_b] \quad (6)$$

که در آن  $\theta_n$  زاویه عضو  $n$ ام و  $(x_b, y_b)$  موقعیت دم ربات می باشند. فرم کلی معادله گیس-اپل به صورت زیر نوشته می شود.

$$\frac{\delta S}{\delta q_j} = Q_j \quad (7)$$

که در آن  $Q_i$  نشان دهنده نیروهای تعمیم یافته ناپایستار و  $S$  تابع گیس-اپل می باشد. با توجه به این که حرکت سرپنین در صفحه  $x$ - $y$  اتفاق می افتد، لذا می توان معادله (3) را ساده نمود. بنابراین  $\omega_i = \dot{\theta}_i k$  و  $\alpha_i = \ddot{\theta}_i k$ . لذا در این حالت داریم:

$$\frac{\partial H_{ci}}{\partial t} = (I_{zz i}) \ddot{\theta}_i k \quad (8)$$

از طرفی  $(\omega_i \times H_{ci})$  بر  $\alpha_i$  عمود می باشد، در نتیجه ضرب داخلی آن ها برابر صفر خواهد بود. با قرار دادن

$$\begin{aligned} f_{xi} &= f_{ni} \cos \beta_i - f_{ti} \sin \theta_i \\ f_{yi} &= f_{ni} \sin \beta_i - f_{ti} \cos \theta_i \end{aligned} \quad (2)$$

که در آن  $f_{xi}$ ,  $f_{yi}$ ,  $f_{ti}$  و  $f_{ni}$  به ترتیب اصطکاک در جهت  $x$ ,  $y$ ,  $t$  (مماس بر عضو) و  $n$  (عمود بر عضو) می باشند. در ادامه، معادلات دینامیک با استفاده از روش گیس-اپل به دست می آید و نتایج به دست آمده با نرم افزار سیم مکانیک مقایسه می شود.

**محاسبه دینامیک به کمک روش گیس-اپل.** روش گیس-اپل توسط گیس در سال ۱۹۸۷ ارائه شد و در سال ۱۹۸۹ توسط اپل مورد مطالعه بیشتر قرار گرفت [24,25]. این روش فرآیند محاسبه دینامیک ربات مارمانند را نسبت به روش های ارائه شده در مقالات [10-15] تا حد محسوسی کاهش می دهد. روش گیس-اپل از جهاتی شبیه به روش لاگرانژ می باشد، با این تفاوت که در این روش از شتاب متغیرهای سینماتیکی استفاده می کند، اما در روش لاگرانژ نیاز به سرعت متغیرها داریم؛ لذا در این روش ابتدا انرژی شتاب هر یک از لینک ها،  $S_i$ ، محاسبه می شود [5,24,25]. بنابراین داریم:

$$S_i = \frac{1}{2} m a_{ci} a_{ci} + \frac{1}{2} \alpha_i \frac{\partial H_{ci}}{\partial t} + \alpha_i (\omega_i \times H_{ci}) \quad (3)$$

که در آن  $H_{ci}$  مومنتوم زاویه ای حول مرکز جرم هر لینک،  $\alpha_i$  شتاب زاویه ای و  $a_{ci}$  شتاب مرکز جرم هر لینک می باشد. هم چنین  $H_{ci}$  را به صورت زیر تعریف می کنیم.

$$H_{ci} = \begin{bmatrix} I_{xx i} & -I_{xy i} & -I_{xz i} \\ -I_{xy i} & I_{yy i} & -I_{yz i} \\ -I_{xz i} & -I_{yz i} & I_{zz i} \end{bmatrix} \begin{bmatrix} \omega_{x i} \\ \omega_{y i} \\ \omega_{z i} \end{bmatrix} \quad (4)$$

که در آن  $I_{xx i}$ ,  $I_{yy i}$  و  $I_{zz i}$  مومنتوم زاویه ای و  $I_{xy i}$ ,

دینامیک یک ربات مارمانند صفحه‌ای با  $n$  عضو به صورت زیر به دست می‌آید.

$$\mathbf{M}(\theta)\mathbf{q} + \mathbf{H}(\theta, \dot{\theta}) + \mathbf{F}(\theta) = \mathbf{B}\boldsymbol{\tau} \quad (13)$$

که در آن  $\mathbf{M}(\theta)$  ماتریس اینرسی، یک ماتریس مثبت  $(n+2) \times (n+2)$  و مثبت متقارن است.  $\mathbf{H}(\theta, \dot{\theta})$  یک ماتریس  $(n+2) \times 1$ ، شامل عبارات‌های گریز از مرکز و کوریولیس است.  $\mathbf{F}(\theta)$  یک ماتریس  $(n+2) \times 1$  و مربوط به نیروهای اصطکاک است.  $\mathbf{B}$  یک ماتریس ثابت  $(n+2) \times (n-1)$  است. هم‌چنین  $\boldsymbol{\tau}$  یک ماتریس  $(n-1) \times 1$  شامل گشتاورهای مورد نیاز است. جزئیات ماتریس‌های  $\mathbf{M}$ ،  $\mathbf{H}$ ،  $\mathbf{B}$  و  $\mathbf{F}$  در معادله (۱۳) در پیوست الف آورده شده‌اند. معادلات به دست آمده در این مطالعه را می‌توان برای هر نوع حرکت دیگر صفحه‌ای مانند حرکت آکاردئونی (Concertina Locomotion) یا حرکت خزشی (Crawling Locomotion) نیز استفاده کرد.

**دینامیک مستقیم.** در دینامیک مستقیم، هدف به دست آوردن مسیر حرکت، سرعت‌ها و شتاب ابزار ربات با داشتن نیروها و یا گشتاورهای اعمالی به مفصل‌های محرک می‌باشد. معادله (۱۳) دارای  $n+2$  معادله و  $n+2$  مجهول می‌باشد ( $\ddot{\mathbf{q}} \in \mathbb{R}^{n+2}$ ). با حل این معادله، شتاب زاویه‌ای مطلق همه عضوها ( $\ddot{\theta} \in \mathbb{R}^n$ ) و هم‌چنین شتاب دم ربات مارمانند ( $\ddot{x}_b, \ddot{y}_b$ ) را می‌توان به دست آورد. با انتگرال‌گیری از سرعت زاویه‌ای عضوها ( $\dot{\theta}$ )، می‌توان زاویه مفصل‌ها ( $\theta$ )، موقعیت ( $x_b, y_b$ ) و سرعت دم ربات ( $\dot{x}_b, \dot{y}_b$ ) را می‌توان محاسبه کرد. بنابراین با داشتن گشتاورهای مصرفی، حرکت ربات مارمانند مشخص می‌شود.

**دینامیک معکوس.** در مدل‌سازی دینامیک معکوس با دانستن مسیرها، سرعت‌ها و شتاب‌های مربوط به

نتایج فوق و  $\mathbf{a}_{ci} = (\ddot{x}_{ci} + \ddot{y}_{ci})$  در معادله (۳)، انرژی شتاب کل لینک‌ها در حرکت سرپنتین را می‌توان به صورت زیر ساده نمود.

$$S = \sum_{i=1}^{n+1} S_i = \frac{1}{2} m \sum_{i=1}^{n+1} (x_{ci} + y_{ci})^2 + \frac{1}{2} I \sum_{i=1}^{n+1} (\theta_i)^2 \quad (9)$$

که در آن  $I$ ،  $\ddot{x}_{ci}$ ،  $\ddot{y}_{ci}$  و  $\dot{\theta}_i$  به ترتیب ممان اینرسی لینک حول مرکز جرم، شتاب خطی در جهت  $\alpha$  و  $\gamma$  و شتاب زاویه‌ای مرکز جرم لینک  $i$ ام می‌باشند. در این مطالعه تمام مفصل‌ها فعال (active) می‌باشند. در نتیجه در معادله (۹) تمام جمله‌ها وابسته به شتاب هستند و نمی‌توان از جمله‌ای برخلاف [5] صرف نظر کرد. با قرار دادن معادله (۹) در معادله گیبس-اپل (معادله ۷) معادلات دینامیک حاکم بر ربات به دست می‌آید. از طرفی نیروهای ناپایستار موجود در سیستم عبارتند از گشتاور موتورها، نیروهای اصطکاک و نیروهای تکیه‌گاهی. نیروهای تعمیم‌یافته ناپایستار به صورت زیر محاسبه می‌شوند:

$$Q_{\theta_j} = d_j (f_{y_i} \cos \theta_j - f_{x_i} \sin \theta_j) + I_j \left[ \cos \theta_j \sum_{i=j+1}^{n+1} (f_{y_i}) - \sin \theta_j \sum_{i=j+1}^{n+1} (f_{x_i}) \right] + \tau_{j-1} - \tau_j \quad (10)$$

$$Q_{x_b} = \sum_{i=1}^n (f_{x_i}) \quad (11)$$

$$Q_{y_b} = \sum_{i=1}^n (f_{y_i}) \quad (12)$$

که در آن  $f_{y_i}$  و  $f_{x_i}$  نیروی اصطکاک به ترتیب در جهت  $x$  و  $y$  می‌باشند.  $\tau_i$  گشتاور مورد نیاز برای عضو  $i$  است. هم‌چنین  $Q_{\theta_j}$ ،  $Q_{y_b}$ ،  $Q_{x_b}$  به ترتیب نیروهای تعمیم‌یافته در جهت  $\theta_j$ ،  $y_b$ ،  $x_b$  هستند. با قرار دادن معادلات (۱۰-۱۲) در معادله گیبس-اپل (معادله ۷)، مدل

حال معادله (۱۹) را در معادله (۱۷) قرار می دهیم. داریم:

$$\begin{aligned} \mathbf{D}\boldsymbol{\tau} + \left( {}^p\mathbf{N}^q\mathbf{N}^{-1}q\mathbf{M} - {}^p\mathbf{M} \right) \mathbf{e}\boldsymbol{\theta}_1 \\ = \left( {}^p\mathbf{M} - {}^p\mathbf{N}^q\mathbf{N}^{-1}q\mathbf{M} \right) \mathbf{E}\boldsymbol{\varphi} \\ - {}^p\mathbf{N}^q\mathbf{N}^{-1} \left( q\mathbf{H} + q\mathbf{f} \right) + {}^p\mathbf{H} + {}^p\mathbf{f} \end{aligned} \quad (20)$$

معادله (۲۰) دارای  $n$  معادله و  $n$  مجهول  $(\boldsymbol{\tau} \in \mathbb{R}^{n-1}$  و  $\boldsymbol{\theta}_1 \in \mathbb{R})$  می باشد. با حل معادله (۲۰)، گشتاور مفصل ها  $(\tau_i)$ ، شتاب زاویه ای عضو اول  $\ddot{\boldsymbol{\theta}}_1$  را می توان محاسبه کرد. با قرار دادن این نتایج در معادله (۱۹)، می توانیم شتاب عضو دم ربات مارمانند یعنی  $\ddot{\mathbf{r}}_b$  را به دست آوریم. سپس با داشتن این مقادیر می توانیم سرعت زاویه ای عضوها  $(\dot{\boldsymbol{\theta}})$ ، زاویه مفصل ها  $(\boldsymbol{\theta})$ ، موقعیت  $(x_b, y_b)$  و سرعت دم ربات مارمانند  $(\dot{x}_b, \dot{y}_b)$  را محاسبه کنیم.

### یادگیری تقویتی

یکی از بهترین روش ها، برای یاد دادن و آموزش ربات استفاده از یادگیری تقویتی است [26-30]. در این روش حالت های مختلفی برای ربات تعریف می شود  $(S = \{s_1, s_2, \dots, s_n, \dots\})$ . در هر حالت  $(s_t)$ ، ربات یک یا چند عمل  $(a_t)$  می تواند انجام دهد. به ازای این که ربات از یک حالت به کدام حالت بعدی  $(s_{t+1})$  برود یا کدام عمل بعدی را انتخاب کند مقداری پاداش یا جریمه  $(r_{t+1})$  می گیرد. هدف یادگیری تقویتی ایجاد نگاشتی بین حالت ها و عمل های ممکن می باشد؛ به عبارت دیگر، عامل (ربات) یک استراتژی  $\pi$  مناسبی را فرا می گیرد. لذا بایستی جمع پاداش دریافتی مورد انتظار به ماکزیمم برسد [31]. بنابراین

$$\begin{aligned} V_{(s)}^\pi &= E \left\{ r_{(t+1)} + \gamma V_{(s_{t+1})}^\pi \mid s_t = s, \pi \right\} \\ &= E \left\{ r_{(t+1)} + \gamma V_{(s_{t+1})}^\pi \mid s_t = s, \pi \right\} \\ &= \sum_{a \in A_s} \pi(s, a) \left[ r_s^a + \gamma \sum_{s'} P_{ss'}^a V_{(s')}^\pi \right] \end{aligned} \quad (21)$$

ربات، نیروها یا گشتاورهای مربوط به مفصل های محرک را محاسبه می کنیم. در این بخش می خواهیم با داشتن زاویه های نسبی، حرکت ربات مارمانند را ایجاد کنیم. به عبارت دیگر می خواهیم روشی را استفاده کنیم که به کمک آن بتوانیم با داشتن زوایای نسبی و مشتقاتش  $(\dot{\boldsymbol{\varphi}}$  و  $\ddot{\boldsymbol{\varphi}})$ ، گشتاورهای مورد نیاز و هم چنین مختصات دم ربات مارمانند را به دست آوریم [12]. همان طور که می دانیم، رابطه بین زوایای نسبی و مطلق به صورت زیر می باشد:

$$\varphi_i = \theta_{i+1} - \theta_i \quad (14)$$

که در آن  $i=1,2,\dots,n-1$ . اگر معادله (۱۴) را به صورت ماتریسی بنویسیم، داریم:

$$\boldsymbol{\theta} = \mathbf{E}\boldsymbol{\varphi} + \mathbf{e}\boldsymbol{\theta}_1 \quad (15)$$

که در آن  $\boldsymbol{\varphi}$  یک بردار  $n$  بعدی،  $[\varphi_1, \varphi_2, \dots, \varphi_{n-1}]$ ،  $\boldsymbol{\theta}_1$  زاویه مطلق عضو دم ربات،  $E_{ij}$  و  $\mathbf{e}$  به صورت زیر تعریف می شوند.

$$E_{ij} = \begin{cases} 1 & i > j \\ 0 & \text{Others} \end{cases}, \mathbf{e} = [1, 1, \dots, 1]^T \quad (16)$$

از طرفی می توان معادله (۱۳) را به صورت دو معادله (۱۷ و ۱۸) جداسازی کرد.

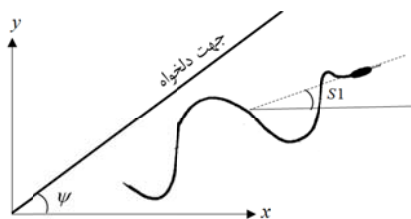
$${}^p\mathbf{M}(\boldsymbol{\theta})\ddot{\boldsymbol{\theta}} + {}^p\mathbf{N}(\boldsymbol{\theta})\dot{\mathbf{r}}_b + {}^p\mathbf{H}(\boldsymbol{\theta}, \dot{\boldsymbol{\theta}}) + {}^p\mathbf{f}(\boldsymbol{\theta}) = \mathbf{D}\boldsymbol{\tau} \quad (17)$$

$${}^q\mathbf{M}(\boldsymbol{\theta})\ddot{\boldsymbol{\theta}} + {}^q\mathbf{N}(\boldsymbol{\theta})\dot{\mathbf{r}}_b + {}^p\mathbf{H}(\boldsymbol{\theta}, \dot{\boldsymbol{\theta}}) + {}^q\mathbf{f}(\boldsymbol{\theta}) = 0 \quad (18)$$

که در آن ها  $\mathbf{r}_b$  بردار موقعیت دم ربات مارمانند می باشد. با قرار دادن مشتق دوم معادله (۱۵) در معادله (۱۸)، داریم:

$$\begin{aligned} \ddot{\mathbf{r}}_b &= -{}^q\mathbf{N}^{-1} \left( {}^q\mathbf{M}\ddot{\boldsymbol{\theta}} + {}^q\mathbf{H} + {}^q\mathbf{f} \right) \\ &= -{}^q\mathbf{N}^{-1} {}^q\mathbf{M} \left( \mathbf{E}\ddot{\boldsymbol{\varphi}} + \mathbf{e}\ddot{\boldsymbol{\theta}}_1 \right) - {}^q\mathbf{N}^{-1} \left( {}^q\mathbf{H} + {}^q\mathbf{f} \right) \end{aligned} \quad (19)$$

**المانهای اصلی در یادگیری تقویتی برای ربات مارمانند.** روش‌های یادگیری تقویتی براساس سعی و خطا می‌باشد. بنابراین برای یادگیری از ربات شبیه‌سازی شده استفاده می‌شود. سپس نتایج به دست آمده را بر روی یک ربات آزمایشگاهی پیاده‌سازی می‌کنیم. در این مقاله از فرمول‌های دینامیکی برای شبیه‌سازی استفاده می‌شود. سپس برای تصدیق نتایج به دست آمده از نرم‌افزارهای سیم مکانیک و وب‌تس استفاده می‌شود. در این مقاله پیش‌بینی شده که ربات مارمانند موازی با مسیری دل‌خواه حرکت کند (شکل ۳).



شکل ۳ شماتیک جهت ربات مارمانند و زاویه مطلوب

قبل از اعمال الگوریتم یادگیری Q جهت ربات مارمانند موازی با محور xها می‌باشد. برای تشویق ربات به حرکت در راستای مورد نظر، پاداش لحظه‌ای به صورت زیر تعریف شده است.

$$r = \begin{cases} S1 - \psi & \text{if } S1 \leq \psi \\ \psi - S1 & \text{if } S1 > \psi \end{cases} \quad (24)$$

که در آن  $\psi$  زاویه هدف و  $S1$  جهت ربات مارمانند در لحظه مورد نظر را نشان می‌دهد و به صورت زیر تعریف می‌شود.

$$S1 = \arctan\left(\frac{y_{Head} - y_G}{x_{Head} - x_G}\right) \quad (25)$$

که در آن  $(x_G, y_G)$  و  $(x_{Head}, y_{Head})$  به ترتیب موقعیت سر و مرکز ربات را نشان می‌دهند. همان‌طور

که در آن  $\gamma \in [0, 1]$  ضریب کاهش (Discount factor)،  $\pi(s, a)$  استراتژی و احتمال انتخاب عمل  $a$  در حالت  $s$ ،  $p_{ss'}^a = Pr\{s_{t+1} = s' | s_t = s, a_t = a\}$  احتمال انتقال حالت (خاصیت ماکروف (Markov property)) و  $r_s^a = E\{r_{t+1} | s_t = s, a_t = a\}$  پاداش مورد انتظار می‌باشد. هم‌چنین  $V(s)$  تابع ارزش حالت (Value function)  $s$  می‌باشد. روش‌های مختلفی برای به‌روزرسانی تابع ارزش وجود دارد که می‌توان به برنامه‌ریزی پویا (Dynamic programming)، مونت کارلو (Monte Carlo) و تفاضل سریع (temporal difference) (TD) اشاره نمود. در این پژوهش، از الگوریتم‌های تفاضل سریع با توجه به ویژگی‌هایشان نسبت به دو روش دیگر استفاده شده است [31]. یکی از رایج‌ترین الگوریتم‌های تفاضل سریع یادگیری تقویتی، روش یادگیری Q می‌باشد [23]. در این روش تابع ارزش عمل (action-value function) به صورت زیر به‌روزرسانی می‌گردد.

$$Q(s_t, a_t) \leftarrow Q(s_t, a_t) + \beta [r_{t+1} + \gamma \max_a Q(s_{t+1}, a) - Q(s_t, a_t)] \quad (22)$$

که در آن  $a_t$  عمل انتخاب شده از مجموعه عمل‌های ممکن پس از حس محیط،  $s_t$  متغیر بیان‌کننده حالت محیط،  $Q(s_t, a_t)$  تابع ارزش حالت،  $r_{t+1}$  پاداش لحظه‌ای،  $\beta$  ضریب یادگیری و  $\gamma$  ضریب کاهش می‌باشند [16]. در این مقاله از روش حریص منصفانه ( $\epsilon$ -greedy method) برای انتخاب عمل استفاده شده است؛ یعنی،

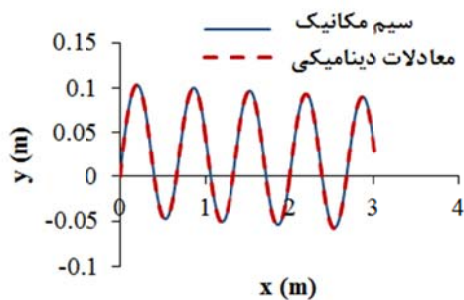
$$a_t = \begin{cases} a_t^* = \operatorname{argmax}_a Q_t(a) & \text{with probability } 1 - \epsilon \\ \text{random action} & \text{with probability } \epsilon \end{cases} \quad (23)$$

### بحث و بررسی نتایج شبیه سازی

جدول (۱) پارامترهای شبیه سازی برای تصدیق معادلات دینامیکی را نشان می دهد. در این مقاله اصطکاک کولمب فرض شده است.

جدول ۱ پارامترهای شبیه سازی	
n=8, 12, 16	تعداد عضو
m=0.01 kg	جرم عضو
$C_n=5.5$	ضریب اصطکاک عمودی
$C_t=0.1$	ضریب اصطکاک مماسی
$\alpha=\pi/6$	زاویه پیشش اولیه
$K_n = 1, 2, 3$	تعداد نوسانات
$l = 0.11, 0.15, 0.02$	طول عضو

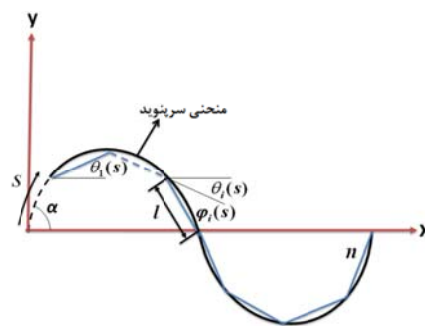
در این قسمت به منظور بررسی صحت حل معادلات دینامیکی، از نرم افزار سیم مکانیک (پیوست ب) نیز استفاده شده است. مسیر پیموده شده توسط دم ربات، حاصل از حل معادله دینامیکی و هم چنین نرم افزار سیم مکانیک در شکل (۵) با یکدیگر مقایسه شده اند (در این جا  $l = 0.11, K_n = 2, n = 16$ ).



شکل ۵ مسیر پیموده شده دم ربات

هم چنین نتایج حاصل از حل معادلات دینامیکی و نرم افزار برای گشتاورهای مورد نیاز در مفصل های ۳، ۷، ۹ و ۱۳ در شکل (۶) نشان داده شده است. شکل ها نشان دهنده این مطلب هستند که نتایج حاصل از نرم افزار سیم مکانیک، نتایج حاصل از حل معادلات دینامیکی را تأیید می کنند.

که از فرمول (۲۵) واضح است، در این مقاله باید ربات فقط در جهت مسیر مطلوب قرار بگیرد و در نتیجه فاصله بین ربات و مسیر مطلوب اهمیت ندارد. برای تولید حرکت ربات مارمانند منحنی سرپنوید استفاده شده است [1]. شکل (۴) شماتیکی از ربات مارمانند است که شامل  $n$  لینک به طول  $l$  است که توسط  $n-1$  مفصل به یکدیگر متصل شده اند.



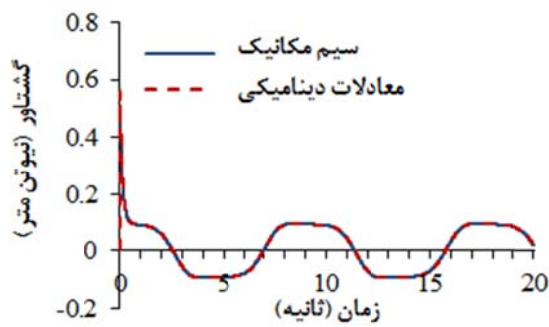
شکل ۴ قرار گرفتن عضوها بر روی منحنی سرپنوید

با استفاده از منحنی سرپنوید، زوایای نسبی به صورت زیر تعریف می شوند.

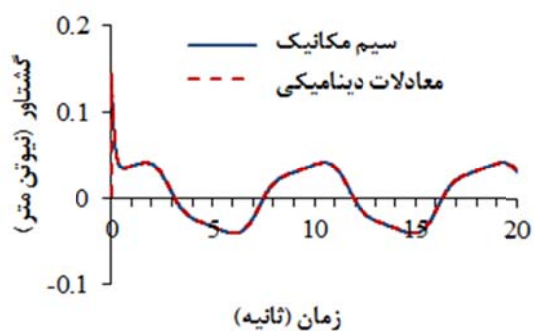
$$\varphi_i(s) = -2a \sin\left(\frac{K_n \pi}{L}\right) \sin\left(\frac{2K_n \pi s}{L} + \frac{2K_n \pi i}{n} - \frac{K_n \pi}{n}\right) + \Omega \quad (26)$$

که در آن  $l$  طول هر عضو،  $K_n$  تعداد نوسانات (یا تعداد موج های منحنی) بدن مار،  $\alpha$  زاویه پیشش اولیه منحنی و  $s$  طول در جهت منحنی بدن مار است. در شکل (۴)،  $K_n = 1$  است [10-15]. در فرمول (۲۶) اگر  $\Omega$  غیر صفر باشد، ربات مارمانند در طول یک مسیر انحنای حرکت می کند. علامت  $\Omega$  ساعتگرد و یا پادساعتگرد بودن حرکت ربات مارمانند را تعیین می کند. در این مقاله پارامتر  $\Omega$  به عنوان عمل (Action) برای یادگیری انتخاب شده است.

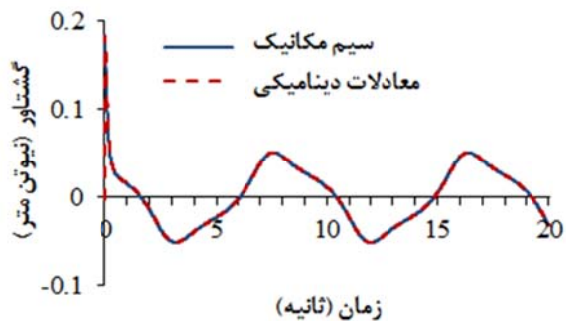




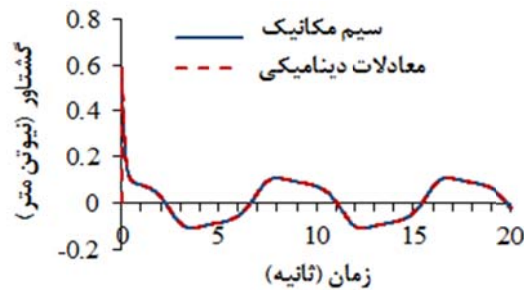
ب: گشتاور خروجی مفصل ۷



الف: گشتاور خروجی مفصل ۳



د: گشتاور خروجی مفصل ۱۳



ج: گشتاور خروجی مفصل ۹

شکل ۶ گشتاور خروجی در مفصل‌های ۳، ۷، ۹ و ۱۳

گشتاورها از حیث دامنه تقریباً یکسانند؛ به‌عنوان مثال مفصل‌های ۳ و ۱۳ نسبت به مرکز جرم کلی ربات قرینه‌اند. گشتاورهای نشان داده‌شده در شکل (۶)، در ابتدا با یک نزول آنی مواجه‌اند و سپس به‌صورت تناوبی تغییر می‌کنند. پیش از شروع حرکت سرپنتین، عضوهای ربات به‌صورت مستقیم و در راستای یکدیگر قرار دارند. با شروع حرکت، اعضا با فاصله نسبت به یکدیگر آرایش می‌گیرند تا منحنی سرپنویذ را ایجاد نمایند. این تغییر آرایش سریع، نیازمند گشتاور زیادی است. به همین دلیل در شکل (۶) گشتاور مفصل‌ها از مقدار زیادتری شروع می‌شوند.

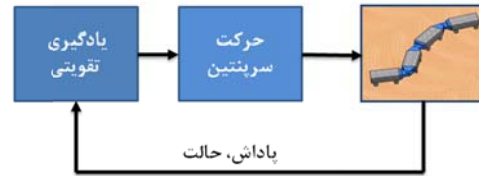
**شبه‌سازی یادگیری Q.** در این مقاله از یادگیری Q برای جهت‌یابی ربات مارمانند استفاده شده است.

همان‌طور که در شکل (۶) پیداست، خطای بین منحنی‌های تئوری و سیم‌مکانیک بسیار ناچیز می‌باشد. علت این امر آنست که در هر دو مدل نرم‌افزار سیم‌مکانیک و تئوری از یک مدل اصطکاک (معادله ۲) استفاده شده است. با توجه به شکل (۶) می‌توان دید که گشتاور مفصل‌ها به‌صورت تناوبی در حال تغییر هستند. مقدار گشتاور در مفصل‌های ۳ و ۱۳ نسبت به گشتاور مفصل‌های ۷ و ۹ دارای مقادیر کمتری هستند. دلیل اختلاف اندازه گشتاور در میان این مفاصل، فاصله هرکدام از آنها تا مرکز جرم کلی ربات است. به بیان دیگر مفصل‌هایی که به مرکز جرم کلی ربات مارمانند نزدیک‌ترند، گشتاور بیشتری تحمل می‌کنند. همچنین با مقایسه میان گشتاور مفصل‌های قرینه، که به یک نسبت از مرکز جرم فاصله دارند، دیده می‌شود که این

مقاله بهینه کردن الگوریتم یادگیری نیست، بلکه بررسی تأثیر پارامترهای منحنی سرپنویذ بر روی یادگیری است.

هدف از این شبیه سازی طراحی کنترلی برای ربات مارمانند است که در آن ربات قادر به حرکت در جهت مورد نظر باشد. بایستی یادآور شویم که ۱۵ بار (تعداد اپیزود) الگوریتم یادگیری تکرار شده است. بنابراین نتایج نشان داده شده میانگینی از این تعداد تکرار می باشد. در این مقاله جهت مطلوب  $\psi = \frac{\pi}{4}$  است. شکل های (۹-۱۱) به ترتیب مسیر حرکت دم ربات، تغییر زاویه  $S1$  و هم چنین پاداش دریافت شده را نشان می دهند. همان طور که در شکل های (۹ و ۱۰) پیداست ربات پس از گذشت زمانی موازی با جهت مطلوب ( $\psi = \frac{\pi}{4} \approx 0.78$ ) حرکت می کند. هم چنین شکل (۱۱) نشان می دهد که تقریباً در اپیزودهای بیشتر از ۱۰، پاداش دریافت شده تغییر محسوسی ندارد. به عبارت دیگر جهت ربات تغییر نکرده است و موازی با جهت مطلوب می باشد.

شکل (۷) نمای کلی از چگونگی ارتباط بین این الگوریتم و ربات مارمانند را نشان می دهد.



شکل ۷ نمای کلی از ربات مارمانند و روش یادگیری تقویتی

در این مقاله حالت و پاداش به ترتیب با روابط (۲۱ و ۲۲) مشخص می شوند. شکل (۸)، الگوریتم یادگیری Q استفاده شده در این مقاله را نشان می دهد. همان طور که می دانیم یکی از مشکلات یادگیری سیستم های پیچیده، کاهش نرخ یادگیری (Slowness Learning) در طول زمان است. این مشکل را می توان با انتخاب مناسب پارامترهای یادگیری، کاهش داد. در مقاله حاضر مقادیر پارامترهای یادگیری براساس دانش پیشین درباره تأثیر هر یک از این پارامترها بر روی سرعت یادگیری، انتخاب شده اند. بنابراین دلیلی ندارد که مقادیر انتخاب شده برای پارامترهای یادگیری، بهینه باشند، اما همان طور که قبلاً اشاره شد، هدف اصلی این

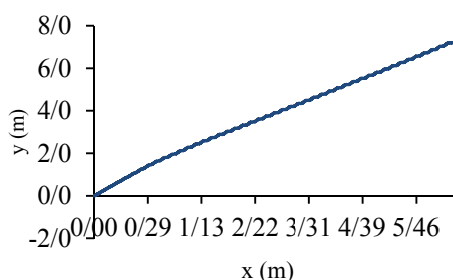
شکل ۸ الگوریتم یادگیری Q در ربات مارمانند

```

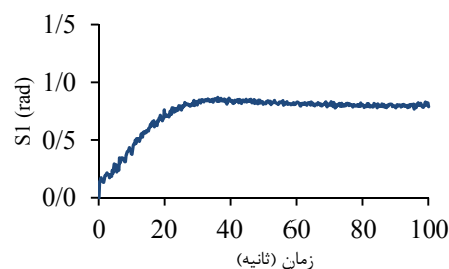
Set parameter  $\gamma = 0.1$  and  $\beta = 0.1$ , and environment reward matrix  $R$ 
Initialize  $Q(S, A)$  ( $S$ , is the state set and  $A$  is action set)
For each episode:
  Initialize state  $s$ 
  Do while not reached goal state. (Here approach to  $\psi$ , see Fig. 3)
  Select one among all possible actions,  $\Omega$ , for the current state,  $S1$ 
  Choose action  $a$  from  $\Omega$ 
  Get maximum  $Q$  value of this next state based on all possible actions.
  Apply action  $a$  and observe  $r_{t+1}$ , Eq. 24, and  $s_{t+1}$ , Eq. 25
  Update
  Equation 22
   $s \leftarrow s_{t+1}$ 

  Set the next state as the current state
End Do
End For

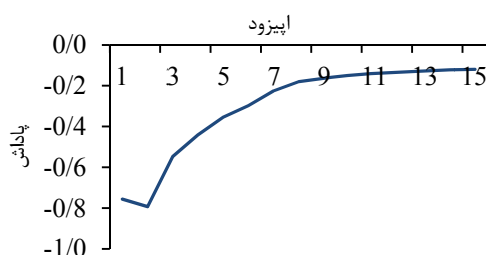
```



شکل ۱۰ مسیر حرکت دم ربات با وجود یادگیری Q



شکل ۹ تغییرات جهت ربات در طول زمان

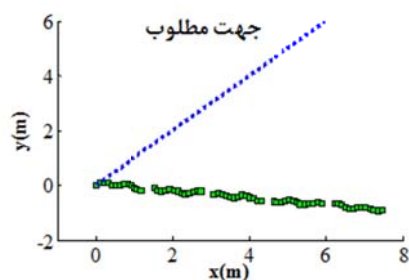


شکل ۱۱ یاداش دریافتی توسط ربات مارمانند در اپیزودهای مختلف

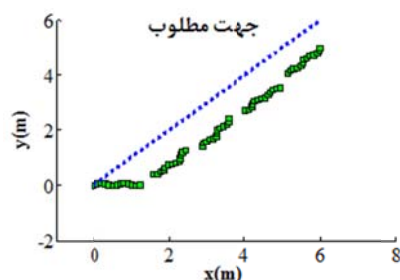
سرعت یادگیری بررسی شده است. بایستی متذکر شویم، از آنجایی که معادلات دینامیکی برای حرکت سرپتین به دست آمده، لذا نتایج به دست آمده در این قسمت ممکن است برای همه ربات‌های مارمانند صادق نباشد. شکل (۱۳) جهت ربات مارمانند را در طول زمان با تغییر پارامترهای منحنی سرپنویذ نشان می‌دهد. همان‌طور که در شکل (۱۳-الف و ب) پیداست پارامترهای طول عضو و تعداد عضو تأثیر محسوسی بر پارامتر SI ندارند. در صورتی که پارامتر  $K_n$  تأثیر محسوسی بر این پارامتر دارد (شکل ۱۳-ج).

بایستی متذکر شویم در این مقاله تنها هدف این است که ربات در جهت مسیر مطلوب قرار بگیرد و در نتیجه فاصله بین ربات و مسیر مطلوب در نظر گرفته نشده است. شکل (۱۲) ربات مارمانند را قبل و بعد از یادگیری نشان می‌دهد.

**تأثیر پارامترهای منحنی سرپنویذ بر روی یادگیری.** مارها انحناء منحنی سرپنویذ را با توجه به محیطی که در آن قرار گرفته‌اند تغییر می‌دهند. لذا در این قسمت با توجه به معادله (۲۱) تأثیر تعداد نوسانات ( $K_n$ ) و طول هر عضو ربات ( $l$ ) و تعداد عضو ( $n$ ) بر روی

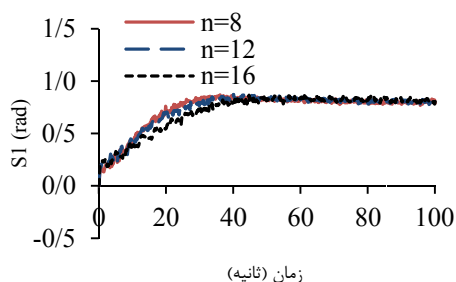


ب) قبل از آموزش

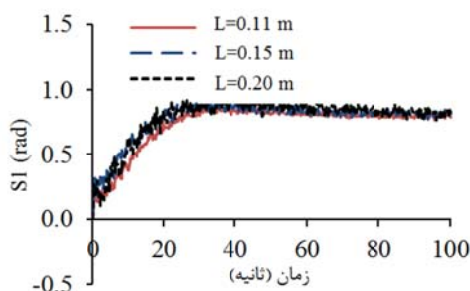


الف) بعد از آموزش

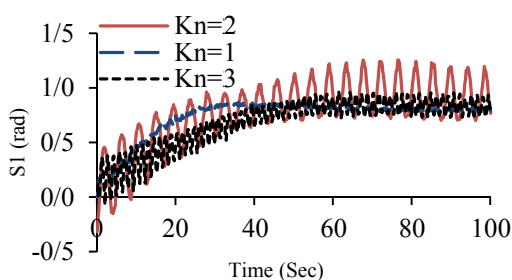
شکل ۱۲ ربات مارمانند



ب)  $\alpha = \frac{\pi}{6}$  و  $l = 0.11m, K_n = 2$



الف)  $\alpha = \frac{\pi}{6}, n = 8, K_n = 2$



ج)  $\alpha = \frac{\pi}{6}$  و  $l = 0.11m, n = 8$

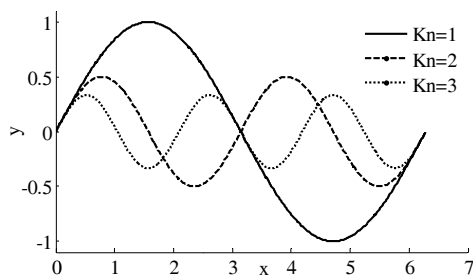
شکل ۱۳ تغییرات جهت ربات مارمانند در طول زمان

گرفت  $K_n$  بیشترین تأثیر را بر یادگیری ربات می‌گذارد. بایستی خاطر نشان کنیم که گرچه این نتیجه کلی نمی‌باشد، اما بررسی تعامل پارامترهای منحنی سرپنویذ ضروری به نظر می‌رسد. در ادامه قصد داریم تعامل این پارامترها را با الگوریتم‌های تکاملی بررسی نماییم.

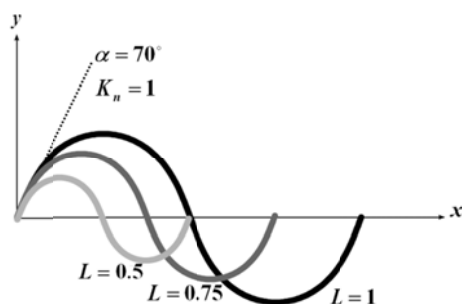
شکل (۱۷) میانگین پاداش دریافتی توسط ربات مارمانند را در ایزودهای مختلف با تغییر پارامترهای منحنی سرپنویذ نشان می‌دهد. از آنجایی که پارامتر  $K_n$  بیشترین تأثیر را بر شکل ربات مارمانند دارد، می‌توان انتظار داشت که تأثیر بیشتری بر سرعت یادگیری بگذارد. شکل (۱۷-ج) نشان می‌دهد که در  $K_n = 2$  پاداش دریافت شده در انتها تقریباً ثابت است در حالی که در  $3$  و  $1$   $K_n$  این طور نیست. این نشان می‌دهد که در این مقادیر ربات بعد از مدت زمان شبیه‌سازی، هنوز کاملاً موازی با جهت مطلوب نشده است که خود حاکی از کاهش سرعت یادگیری در این مقادیر از  $K_n$  می‌باشد.

علت تأثیر پارامتر  $K_n$  را می‌توان در این دانست که این پارامتر شکل ربات را تغییر می‌دهد. براساس شکل (۱۴) تغییر در تعداد موج ( $K_n$ ) تنها بر ارتفاع منحنی تأثیرگذار است و تأثیری بر عرض منحنی ندارد. اما پارامترهای فیزیکی - پارامترهای  $l$  و  $n$  - تنها طول ربات را تغییر می‌دهند و بر روی شکل ربات تأثیری ندارد. با توجه به شکل (۱۵) تغییر  $L = nl$  اندازه منحنی را زیاد یا کم می‌کند و بر شکل منحنی تأثیر نمی‌گذارد.

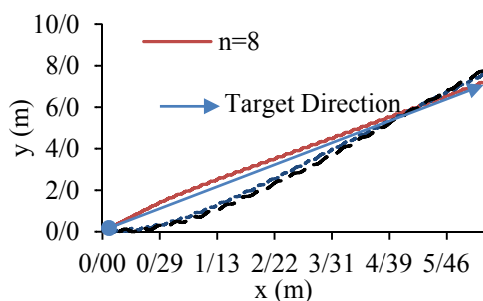
شکل (۱۶) مسیر پیموده شده توسط دم ربات با تغییر پارامترهای منحنی سرپنویذ را نشان می‌دهد. شکل‌های (۱۶-الف تا ج) به ترتیب نشان می‌دهند که ربات در  $l = 0.11m, n = 8$  و  $K_n = 2$  عملکرد بهتری داشته است. در نتیجه با انتخاب پارامترهای  $l = 0.11m, n = 8, K_n = 2, \alpha = \frac{\pi}{6}$  (خط پر) ربات مارمانند سریع‌تر در جهت مطلوب (یعنی در جهت فلش) قرار می‌گیرد. به‌علاوه می‌توان نتیجه



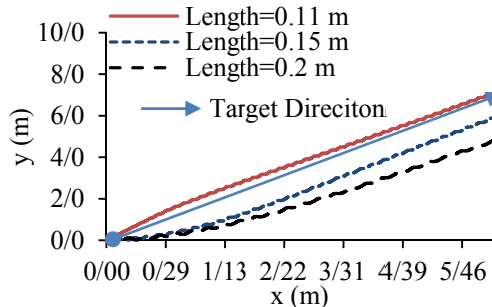
شکل ۱۴ تأثیر زاویه پیمایشی اولیه و تعداد موج بر منحنی سرپنوید [15]



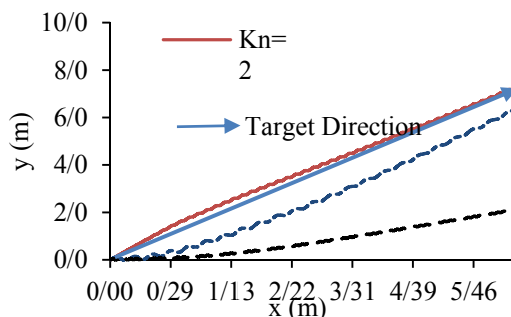
شکل ۱۵ منحنی سرپنوید در مختصات کارتزین و تأثیر  $L$  بر این منحنی [15]



ب)  $\alpha = \frac{\pi}{6}$  و  $l = 0.11m, K_n = 2$

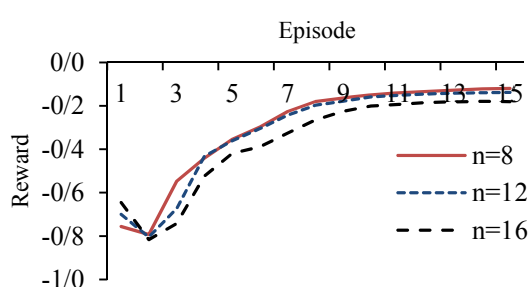


الف)  $\alpha = \frac{\pi}{6}, n = 8, K_n = 2$

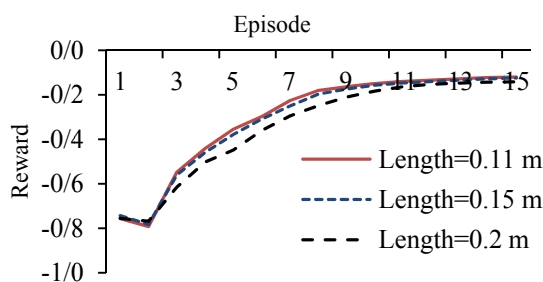


ج)  $\alpha = \frac{\pi}{6}$  و  $l = 0.11m, n = 8$

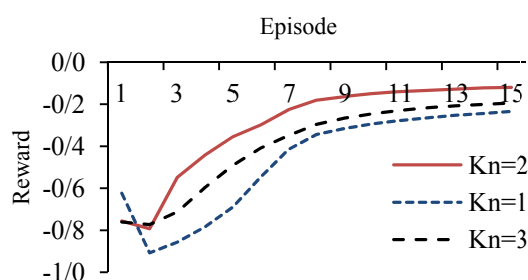
شکل ۱۶ مسیر پیموده شده توسط دم ریات (فلش نشان دهنده جهت مطلوب است)



ب)  $\alpha = \frac{\pi}{6}$  و  $l = 0.11m, K_n = 2$



الف)  $\alpha = \frac{\pi}{6}$  و  $n = 8, K_n = 2$



ج)  $\alpha = \frac{\pi}{6}$  و  $l = 0.11m, n = 8$

شکل ۱۷ میانگین پاداش دریافتی توسط ربات مارمانند در اپیزودهای مختلف

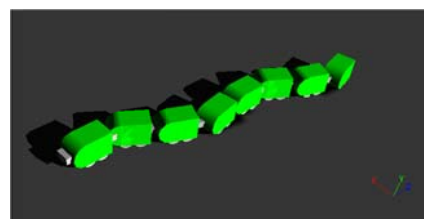
شکل (۱۹-الف) مسیر حرکت ربات مارمانند را قبل از آموزش نشان می‌دهد. همان‌طور که در شکل (۱۹-ب) واضح می‌باشد، ربات مارمانند پس از یادگیری، موازی با مسیر مورد نظر حرکت می‌کند.

### ربات مارمانند FUM- Snake II

ربات نشان داده شده در شکل (۲۰) با نام FUM-Snake II از نسل ربات‌های مارمانند است که در گروه رباتیک دانشگاه فردوسی مشهد طراحی و ساخته شده است. برای مدل‌سازی حرکت سرپنتین در زیر هر عضو، چهار چرخ تعبیه گشته است. طول هر عضو ربات 110 mm و وزن هر عضو 90 g است. هر عضو دارای عرض و ارتفاعی به ترتیب 60 mm و 50 mm است. شکل (۲۰) نحوه ارتباط ربات با محیط اطراف را نشان می‌دهد. جدول (۲) مقایسه این ربات با ربات‌های مارمانند مشهور را نشان می‌دهد.

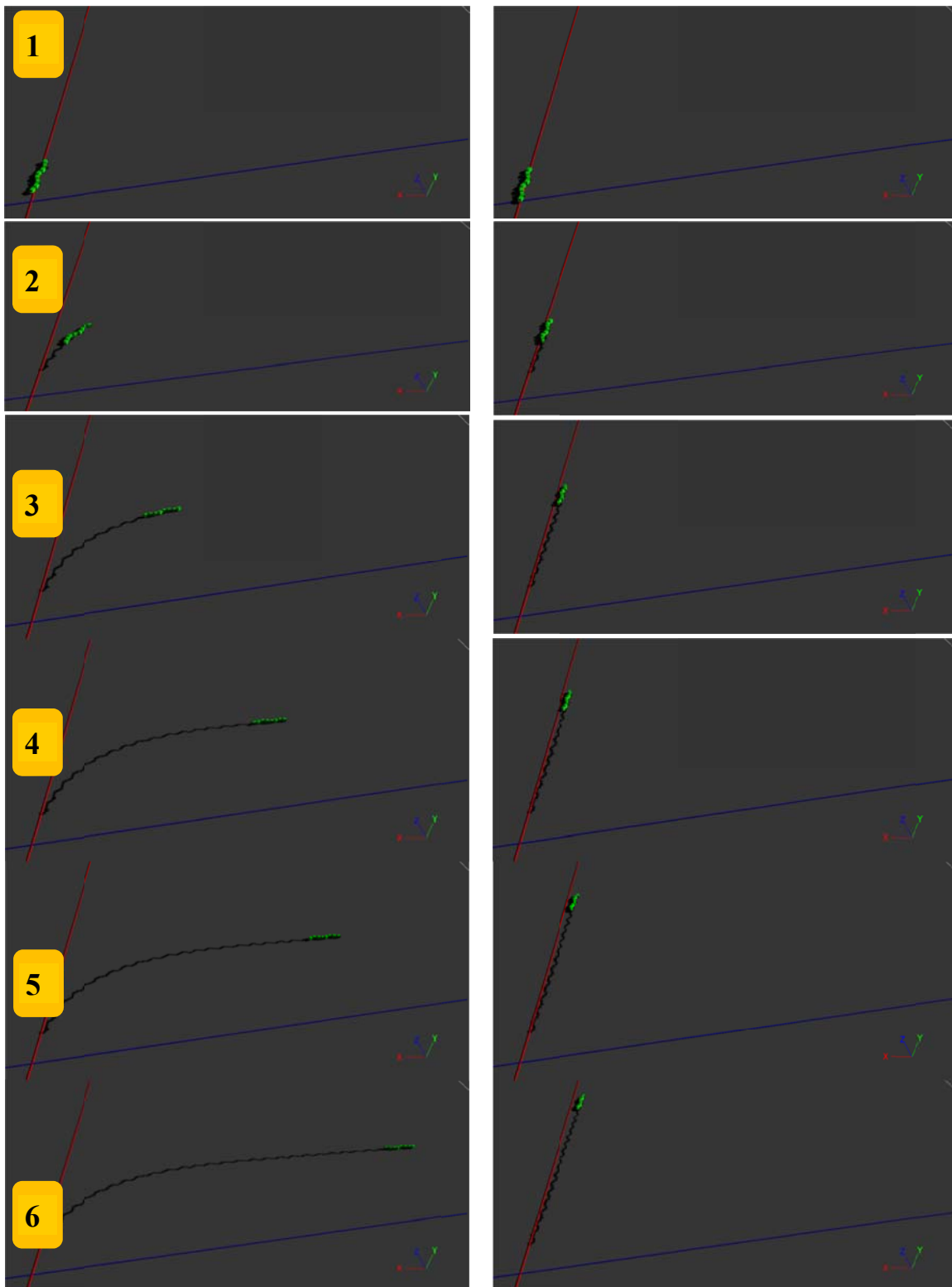
### نرم‌افزار وباتس

در این قسمت زوایای به دست آمده از فرآیند یادگیری را به ربات مارمانند شبیه‌سازی شده در نرم‌افزار وباتس اعمال خواهیم کرد. از آنجایی که این نرم‌افزار به مانند محیط واقعی می‌باشد، لذا رباتی که در این نرم‌افزار شبیه‌سازی شود و با موفقیت مأموریتش را انجام بدهد در محیط طبیعی و پس از ساخت هم با همین موفقیت روبه‌رو خواهد شد. وباتس یک محک بسیار عالی برای ساخت یک ربات است [12,15]. شکل (۱۸) نمایی از مدل ربات مارمانند را در این نرم‌افزار نشان می‌دهد.



شکل ۱۸ تمایی از ربات مارمانند با ۸ عضو

در نرم‌افزار وباتس



ب) ربات مارمانند بعد از یادگیری

الف) ربات مارمانند قبل از یادگیری

شکل ۱۹ ربات مارمانند شبیه‌سازی شده در نرم‌افزار ویاتس

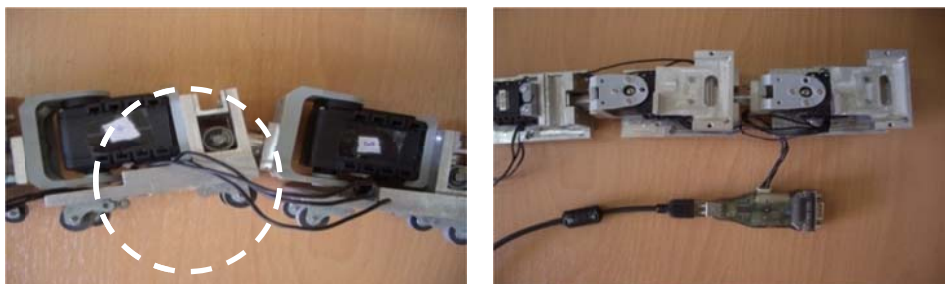


شکل ۲۰ ربات مارمانند FUM- Snake II و اتصالات

جدول ۲. مقایسه ربات مارمانند FUM- Snake II با ربات‌های معروف [12]

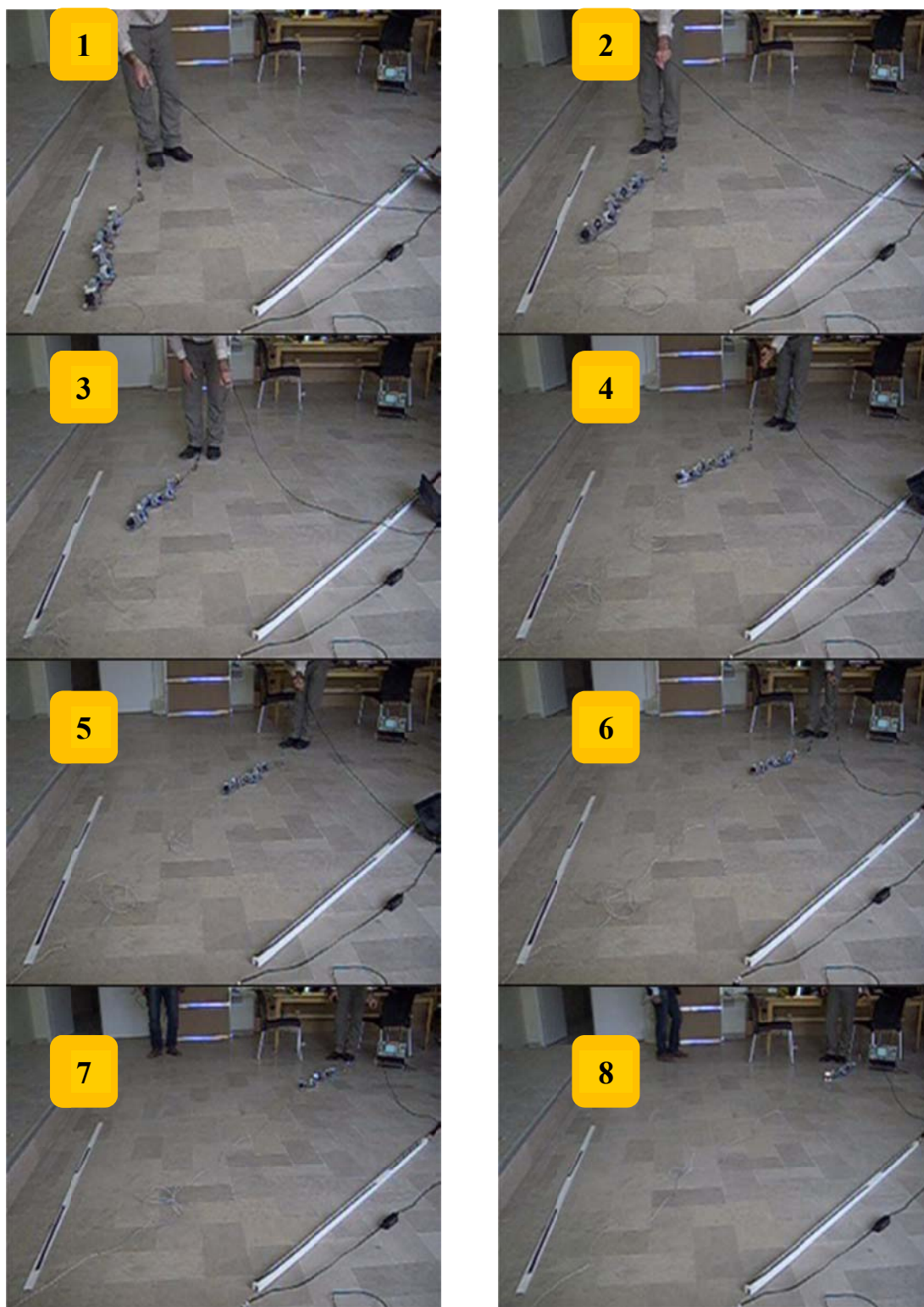
نام ربات	نوع	طول کل (mm)	سطح مقطع (m <sup>2</sup> )	وزن کل (kg)	سرعت ماکزیمم (mm/s)	تعداد مازول
ACM III	I	2000	0.023	28	400	20
AmphiBot I (AB I)	I	490	0.002	---	35	8
AmphiBot II (AB II)	I	770	0.002	---	400	8
<b>FUM Snake-2</b>	<b>I</b>	<b>880</b>	<b>0.003</b>	<b>2.5</b>	<b>350</b>	<b>8</b>
KR-II	II	3300	0.497	370	500	7
KR-I	III	1390	0.081	27.8	266	6
OmniTread (OT-8)	III	1270	0.034	13.6	100	5
OmniTread (OT-4)	III	940	0.007	3.6	150	7
JL-I	III	1050	0.038	21	180	3
Kotay's Inchworm I (KIR-1)	IV	250	---	0.455	4	---
Kotay's Inchworm II (KIR-2)	IV	330	---	0.566	13	---
CMU (M1)	IV	840	0.003	1.26	102	---
<b>FUM Snake-3</b>	<b>IV</b>	<b>670</b>	<b>0.0045</b>	<b>1.4</b>	<b>105</b>	<b>9</b>
Planar Inchworm (PI)	V	710	---	6	1	2
Slim Slime Robot (SSR)	V	730	0.013	12	60	6

I: ربات‌های چرخ‌دار غیرفعال (robots with passive wheels) - II: ربات‌های چرخ‌دار فعال (robots with active wheels) - III: ربات‌های مجهز به پا (robots with active treads) - IV: ربات‌های موج‌شکل و یا موج‌های عمودی (robots based on undulation) - V: ربات‌های بر اساس حرکت موج با استفاده از انبساط‌های خطی (robots based on undulation using linear expansion)



شکل ۲۱ فاصله ایجاد شده در مفصل عضوها





شکل ۲۲ حرکت سرپتین ربات مارمانند FUM-Snake II

همان‌طور که از جدول (۲) پیداست این ربات ویژگی‌های مناسبی (سرعت و وزن ربات) نسبت به هم گروه‌های خود دارد. از ویژگی‌های جالب دیگر این ربات طراحی مفصل‌های آن می‌باشد. برای سازگارتر ساختن ربات در محیط‌هایی با سطوح نسبتاً ناهموار، در طراحی مفاصل مقداری لقی (درجه آزادی در جهت عمود بر حرکت) لحاظ شده است. این طراحی در شکل (۲۱) آمده است. از طرفی هیروس [1] نشان داد که برای ایجاد و پیش‌روی ربات مارمانند در حرکت سرپتین بایستی ناهمسان‌گردی در ضریب اصطکاک بین ضرایب اصطکاک افقی و عمودی وجود داشته باشد. برای این منظور، چرخ‌های کوچکی در زیر هر عضو و در موازات با هر عضو تعبیه شده است (شکل ۲۱). این کار باعث کاهش ضریب اصطکاک در جهت مماسی و افزایش ضریب اصطکاک در جهت عمود بر لینک می‌شود.

در انتها برای صحت‌سنجی نتایج به‌دست آمده از شبیه‌سازی، این نتایج را بر روی ربات آزمایشگاهی اعمال می‌کنیم. شکل (۲۲) پیش‌روی ربات FUM-Snake II را بعد از یادگیری نشان می‌دهد. در این مقاله زوایای هر یک از مفاصل در فرآیند یادگیری از طریق شبیه‌سازی ابتدا به‌دست آمده و سپس زوایای حاصل به موتور متناظر اعمال گردیده‌اند. به عبارت دیگر ورودی ربات تنها زوایای موتورها می‌باشد و این موتورها از موقعیت ربات نسبت به مسیر سیگنال کنترلی دیگری دریافت نمی‌کنند. در این مطالعه فقط می‌خواهیم ربات در جهت مسیر مطلوب قرار بگیرد و در نتیجه فاصله بین ربات و مسیر مطلوب در نظر گرفته نشده است.

### جمع‌بندی و نتیجه‌گیری

در این مقاله حرکت سرپتین ربات مارمانند مورد مطالعه قرار گرفته است. معادلات دینامیکی حاکم بر

ربات به‌کمک روش گیبس-اپل در حالت کلی استخراج شده‌اند. روش ارائه شده در این مقاله حجم محاسبات دینامیک ربات مارمانند را تا حد محسوسی کاهش می‌دهد. برای تصدیق معادلات دینامیکی از نرم‌افزار سیم‌مکانیک استفاده شده است. نتایج نشان می‌دهند که میزان پیش‌روی و گشتاور مفاصل ربات در معادلات دینامیکی و نرم‌افزار سیم‌مکانیک از تطابق بسیار خوبی برخوردار است. در این مقاله، اصطکاک به‌صورت کولمب در نظر گرفته شده است. در این مطالعه نشان داده شد، مفصل‌هایی که به مرکز جرم کلی ربات مارمانند نزدیک‌ترند، گشتاور بیشتری تحمل می‌کنند. هم‌چنین با مقایسه میان گشتاور مفصل‌های قرینه، که به یک نسبت از مرکز جرم فاصله دارند، دیده می‌شود که این گشتاورها از حیث دامنه تقریباً یکسانند.

در این مقاله برای اولین بار از روش یادگیری Q در جهت‌یابی ربات مارمانند استفاده شده است. به‌علاوه تأثیر پارامترهای منحنی سرپنویذ بر سرعت یادگیری ربات با استفاده از معادلات دینامیکی از دیگر موارد مورد بررسی در این تحقیق می‌باشد. بر طبق نتایج شبیه‌سازی طول عضوها و تعداد عضوها تأثیر چندانی بر روی یادگیری ربات مارمانند ندارند زیرا این پارامترها تنها طول ربات را تغییر می‌دهد و بر روی شکل ربات تأثیری ندارند. به عبارت دیگر پارامترهای فیزیکی بر سرعت یادگیری تأثیر نمی‌گذارند.

از آنجایی که پارامتر  $K_n$  شکل ربات مارمانند را تغییر می‌دهد، لذا بر سرعت یادگیری تأثیر محسوسی دارد.

برای آزمایش و تصدیق نتایج حاصل از یادگیری، از نرم‌افزار وباتس و ربات مارمانند FUM-Snake II استفاده شده است. نتایج تحقیق بیانگر این می‌باشند که روش یادگیری Q برای جهت‌یابی ربات مارمانند مناسب می‌باشد.

در مطالعه حاضر، به‌طور موفقیت‌آمیزی موارد زیر

- بررسی شده است:
- (۱) استخراج معادلات دینامیک ربات از روش گیس-اپل.
- (۲) استفاده از یادگیری Q برای جهت‌یابی ربات مارمانند.
- (۳) بررسی تأثیر پارامترهای فرم بدن ربات در یادگیری.
- (۴) تصدیق نتایج شبیه‌سازی با استفاده از نرم‌افزارهای
- سیم‌مکانیک، وباتس و ربات آزمایشگاهی.
- در پژوهش‌های آینده قصد داریم تعامل پارامترهای منحنی سرپنوید را با الگوریتم‌های تکاملی بررسی نماییم. هم‌چنین مسیر مطلوب را انحنادار کنیم و پاداش دریافتی را طوری تعریف نماییم که گشتاور مصرفی و فاصله ربات مارمانند تا مسیر مطلوب را نیز در نظر گرفته باشد.

### مراجع

- Hirose, S., "Biologically Inspired Robots (Snake-like Locomotor and Manipulator)", Oxford University Press, Oxford, (1993).
- Saito M., Fukaya M. and Iwasaki T., "Serpentine locomotion with robotic snakes", *IEEE Control Systems Magazine*, Vol. 22, pp. 64–81, (2002).
- Transeth, A.A., "Modelling and Control of Snake Robots", Ph.D. Dissertation, Trondheim, September, (2007).
- Transeth, A.A., Pettersen K.Y. and Liljebäck, P., "A survey on snake robot modeling and locomotion", *Robotica*, Vol. 27, pp. 999–1015, (2009).
- Vossoughi Gh., Pendar Ho., Heidari Z. and Mohammadi S., "Assisted passive snake-like robots: conception and dynamic modeling using Gibbs–Appell method", *Robotica*, Vol. 26, pp. 267–276, (2008).
- Spranklin, B.W., "Design, Analysis and fabrication of a snake- inspired robot with a rectilinear gait", Master of Science Thesis, University of Maryland, (2006).
- Liljebäck, P., Stavdahl, A. and Pettersen K.Y., "Modular pneumatic snake robot: 3D modeling, implementation and control", in: *Proc. 16<sup>th</sup> IFAC World Congress*, Prague, Czech Republic, 4-8 July (2005).
- Ye, Ch., Ma, Sh., and Li, B., "Development of a 3D Snake-like Robot Perambulator-II: Design and Basic Experiments", in *Proc. 2007 IEEE Int. Conf. on Intelligent Mechatronics and Automation (ICMA2007)*, pp. 117-122, 5-8 Aug, (2007).
- Crespi, A. and Ijspeert, A.J., "Online Optimization of Swimming and Crawling in an Amphibious Snake Robot", *IEEE Transactions on Robotics*, Vol. 24, (2008).
- Hasanzadeh, Sh. and Akbarzadeh, Alireza., "Ground adaptive and optimized locomotion of snake robot moving with a novel gait", *Auton Robot*, Vol. 28, pp. 457–470, (2010).
- Hasanzadeh, Sh. and Akbarzadeh, A., "Adaptive Optimal Locomotion of Snake Robot Based on CPG-Network Using Fuzzy Logic Tuner", *IEEE - CIS RAM*, (2008).
- Kalani, H. and Akbarzadeh, A., "Design and Modeling of a Snake Robot Based on Worm-Like Locomotion", Accepted, *Advance Robotics*.
- Kalani, H., Akbarzadeh, A. and Safehian, J., "Traveling Wave Locomotion of Snake Robot along Symmetrical and Unsymmetrical body shapes", *ISR-Robotik Conf.*, Munich, Germany, 2-4 June (2010).
- Safehian, J., kalani, H. and Akbarzadeh, A., "A Novel Kinematics Modeling Method for Snake Robot

- in Traveling wave Locomotion ASME 2010 10th Biennial Conference on Engineering Systems Design and Analysis ", Turkish, 12-14 July (2010).
15. Kalani, H., Akbarzadeh, A. and Bahrami, Ho., "Application of Statistical Techniques in Modeling and Optimization of a Snake Robot", *Robotica*, Vol. 31, pp. 623-641, (2013).
  16. Sutton, R.S., and Barto, A.G., "*Reinforcement Learning: An Introduction*". MIT Press, Cambridge, MA, (1998).
  17. Chen, C., Li, H. and Dong, D., "Hybrid control for robot navigation: A hierarchical Q-learning algorithm", *IEEE Robot. Autom. Mag.*, Vol. 15, pp. 37-47, (2008).
  18. Franchi, A., Freda, L. and Oriolo, G., "The sensor-based random graph method for cooperative robot exploration", *IEEE/ASME Trans. Mechatronics*, Vol. 14, pp. 163-175, (2009).
  19. Chen, C. and Dong, D., "Grey system based reactive navigation of mobile robots using reinforcement learning", *Int. J. Innov. Comput., Inf. Control*, Vol. 6, pp. 789-800, (2010).
  20. Jan, G.E., Chang, K.Y. and Parberry, I., "Optimal path planning for mobile robot navigation", *IEEE/ASME Trans. Mechatronics*, Vol. 13, pp. 451-460, (2008).
  21. Rodriguez, M., Iglesias, R., Regueiro, C.V., Correa, J. and Barro, S., "Autonomous and fast robot learning through motivation", *Robot. Auton.Syst.*, Vol. 55, pp. 735-740, (2007).
  22. Ratliff, N.D., Silver, D. and Bagnell, J.A., "Learning to search: Functional gradient techniques for imitation learning", *Auton. Robots*, Vol. 27, pp. 25- 53, (2009).
  23. Watkins, J.C.H. and Dayan, P., "Q-learning. Machine Learning", Vol. 8, pp. 279-292, (1992).
  24. Ginsberg, J.H., "*Advanced Engineering Dynamics*", New York, Cambridge University Press, (1998).
  25. Greenwood, D.T., "*Advanced Dynamics*", New York, Cambridge University Press, (2003).
  26. Mataric, M.J., "Reinforcement learning in the multi-robot domain", *Autonomous Robots*, Vol. 4, pp. 73-83, (1997).
  27. Peters, J., Vijayakumar, S. and Schaal, S., "Reinforcement learning for humanoid robotics", *In Third IEEE-RAS International Conference on Humanoid Robots*, Karlsruhe, 29-30 Sept (2003).
  28. Asada M., Uchibe E. and Hosoda, K., "Cooperative behavior acquisition for mobile robots in dynamically changing real worlds via vision-based reinforcement learning and development", *Artificial Intelligence*, Vol. 110, pp. 275-292, (1999).
  29. Park K.H., Kim Y.J. and Kim J.H., "Modular Q-learning based multi-agent cooperation for robot soccer", *Robotics and Autonomous Systems*, Vol. 35, pp. 109-122, (2001).
  30. Tan, M., "Multi-agent reinforcement learning: independent vs. cooperative agents", *in Proceedings of the Tenth International Conference on Machine Learning*, Amherst, MA, pp. 330-337, (1993).
  31. Dong, D., Chen, Ch., Chu, J. and Tarn, T.J., "Robust Quantum-Inspired Reinforcement Learning for Robot Navigation", *IEEE/ASME Transactions on Mechatronics*, Vol. 17, (2012).
  32. Ito, K., Fukumori, Y. and Takayama, A., "Autonomous control of real snake-like robot using reinforcement learning; abstraction of state-action space using properties of real world", *Intelligent Sensors, Sensor Networks and Information*, ISSNIP, 3rd International Conference, Melbourne, Qld., 3-6 Dec. (2007).
  33. Ito, K., Kamegawa, T. and Matsuno, F., "Extended QDSEGA for controlling real robots-acquisition of locomotion patterns for snake-like robot", *Robotics and Automation*, Vol. 1, (2003).
  34. Tanev, I., Ray, T. and Buller, A., "Automated evolutionary design, robustness, and adaptation of sidewinding locomotion of a simulated snake-like robot", *Robotics, IEEE Transactions*, pp. 632-645, (2005).

پیوست الف

جزئیات ماتریس‌های  $\mathbf{B}$ ،  $\mathbf{H}$ ،  $\mathbf{M}$  و  $\mathbf{F}$  در معادله (۱۳) برای یک ربات مارمانند  $n$  عضوی و بر روی سطح شیب‌دار در حرکت سرپتین به صورت زیر می‌باشد.

$$\mathbf{M} = \begin{bmatrix} {}^pM_{n \times n} & {}^pN_{n \times 2} \\ {}^qM_{2 \times n} & {}^qN_{2 \times 2} \end{bmatrix},$$

$${}^q\mathbf{N} = \begin{bmatrix} \sum_{i=1}^n m_i & 0 \\ 0 & \sum_{i=1}^n m_i \end{bmatrix},$$

$${}^p\mathbf{N} = {}^q\mathbf{M}^T,$$

$${}^pM_{ij} = \begin{cases} \left[ m_j d_j l_j + \left( \sum_{k=j+1}^n m_k \right) l_i l_j \right] \cos(\theta_i - \theta_j) & i < j, 1 \leq j \leq n \\ l_i + m_i d_i^2 + l_i^2 \left( \sum_{j=i+1}^n m_j \right) & i = j, 1 \leq j \leq n \\ {}^pM_{ji} & i > j, 1 \leq j \leq n \end{cases}$$

$${}^qM_{2,j} = \cos\theta_j \left[ m_j d_j + \left( \sum_{k=j+1}^n m_k \right) l_j \right] \text{ for } (j = 1, 2, \dots, n)$$

$${}^qM_{1,j} = -\sin\theta_j \left[ m_j d_j + \left( \sum_{k=j+1}^n m_k \right) l_j \right] \text{ for } (j = 1, 2, \dots, n)$$

$${}^pH_i = l_i \sum_{j=i+1}^n \left\{ \left[ m_j d_j + l_j \left( \sum_{k=j+1}^n m_k \right) \right] \sin(\theta_i - \theta_j) \theta_j^2 \right\}$$

$$+ \sum_{j=1}^{i-1} \left\{ \left[ m_i d_i + l_i \left( \sum_{k=i+1}^n m_k \right) \right] l_j \sin(\theta_i - \theta_j) \theta_j^2 \right\} \quad (i = 1, 2, \dots, n)$$

$${}^q\mathbf{H} = \begin{bmatrix} -\sum_{i=1}^n \cos\theta_i \left[ m_i d_i + \left( \sum_{k=i+1}^n m_k \right) l_i \right] \theta_i^2 \\ -\sum_{i=1}^n \sin\theta_i \left[ m_i d_i + \left( \sum_{k=i+1}^n m_k \right) l_i \right] \theta_i^2 \end{bmatrix}$$

$$\mathbf{F} = \begin{bmatrix} {}^p\mathbf{f}_{n \times 1} \\ {}^q\mathbf{f}_{2 \times 1} \end{bmatrix}$$

$${}^p f_j = d_j (f_{xj} \sin\theta_j - f_{yj} \cos\theta_j) + l_j \left[ \sin\theta_j \sum_{i=j+1}^n (f_{xi}) - \cos\theta_j \sum_{i=j+1}^n (f_{yi}) \right]$$

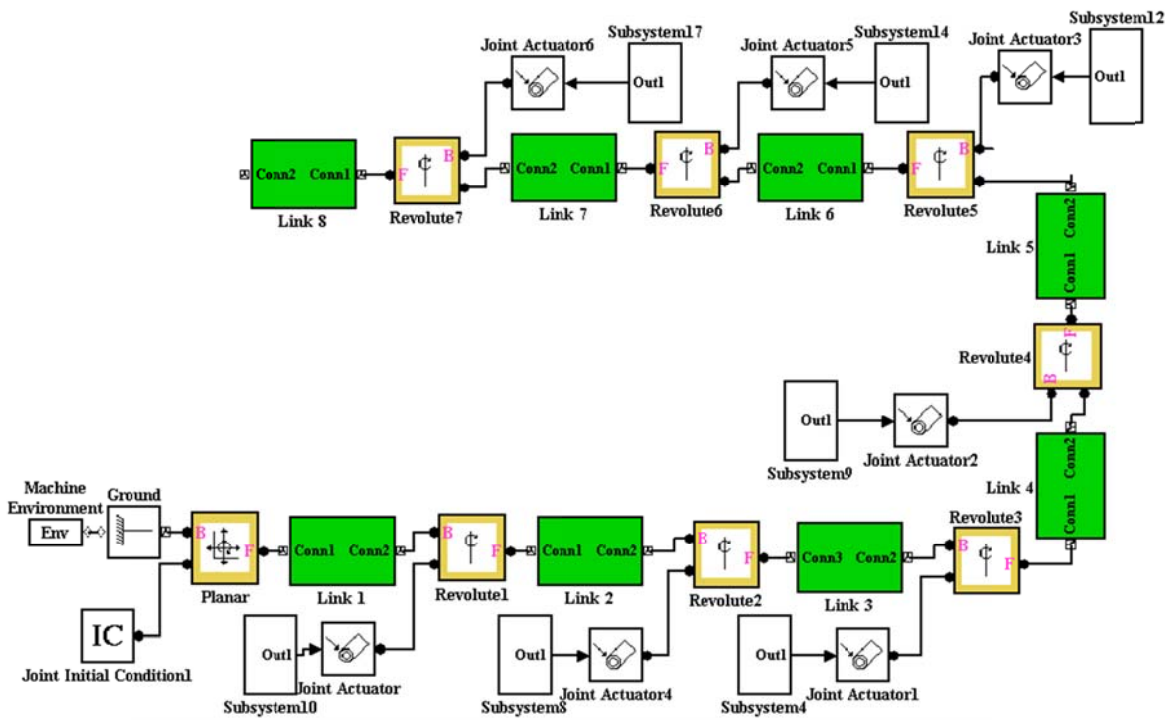
$${}^q \mathbf{f} = \begin{bmatrix} -\sum_{i=1}^n (f_{xi}) \\ -\sum_{i=1}^n (f_{yi}) \end{bmatrix}$$

$$\mathbf{B} = \begin{bmatrix} D_{n \times n-1} \\ 0 \end{bmatrix},$$

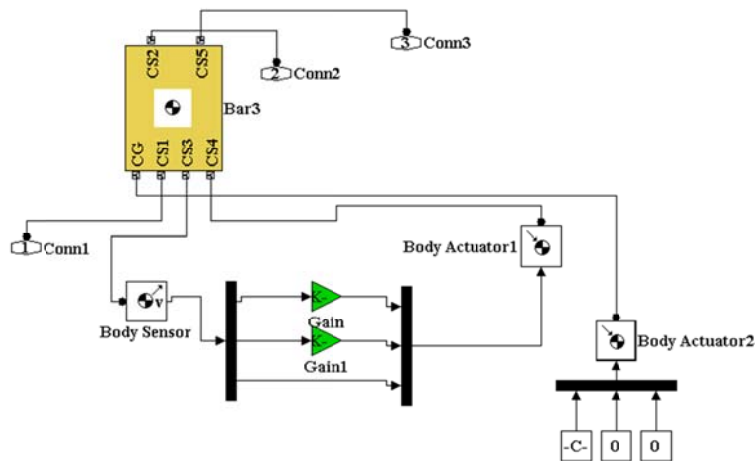
$$D_{ij} = \begin{cases} -1 & i = j \\ 1 & i = j + 1 \\ 0 & \text{Others} \end{cases}$$

پیوست ب

به منظور بررسی صحت حل معادلات دینامیکی، از نرم افزار سیم مکانیک نیز استفاده شده است (شکل ۲۳). مدل اصطکاک ویسکوز در این نرم افزار در شکل (۲۴) نشان داده شده است.



شکل ۲۳ مدل ربات مار مانند با ۸ لینک در نرم افزار سیم مکانیک



شکل ۲۴ مدل اصطکاک ویسکوز در نرم افزار سیم مکانیک